

### Indice



#### Introduzione astrofisica:

- Abbondanze degli elementi nell'Universo
- Sorgente di energia delle stelle
- Teoria della nucleosintesi stellare
- Vita (e morte) di una stella



#### Reazioni termonucleari nelle stelle

- Il picco di Gamow
- Perchè misurare sottoterra?



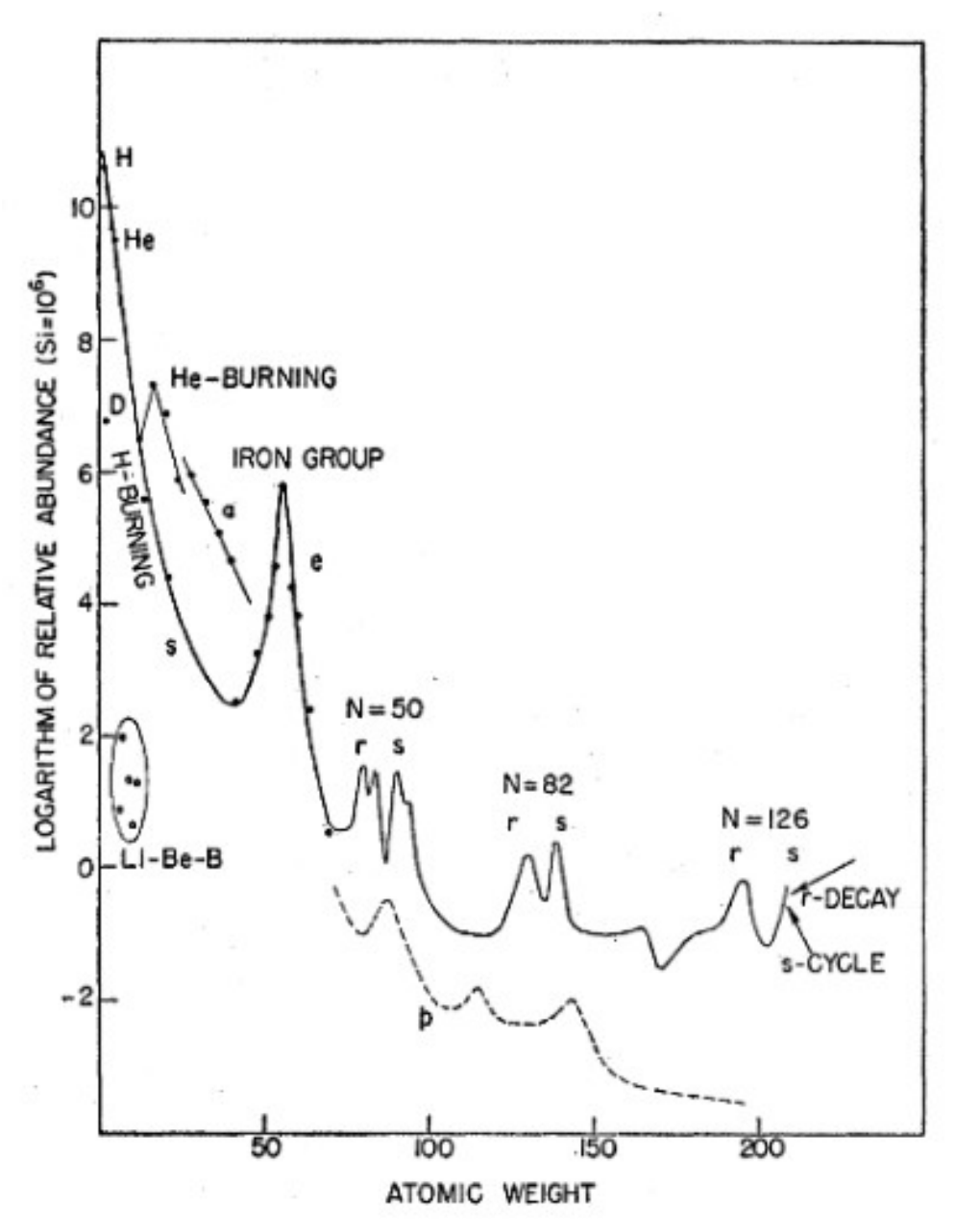
#### L'esperimento LUNA (Laboratory for Underground Nuclear Astrophysics)

- Apparato sperimentale
- Reazioni studiate
- Un esempio:  $^{22}$ Ne + p  $\rightarrow$   $^{23}$ Na +  $\gamma$
- II progetto LUNA MV

## Abbondanze degli elementi nell' Universo

Come, dove e quando avviene la sintesi degli elementi?

Le abbondanze degli elementi seguono dovunque la stessa distribuzione ...



Suess and Urey Reviews of Modern Physics 28 (1956) 53-74

# Sorgente di energia delle stelle

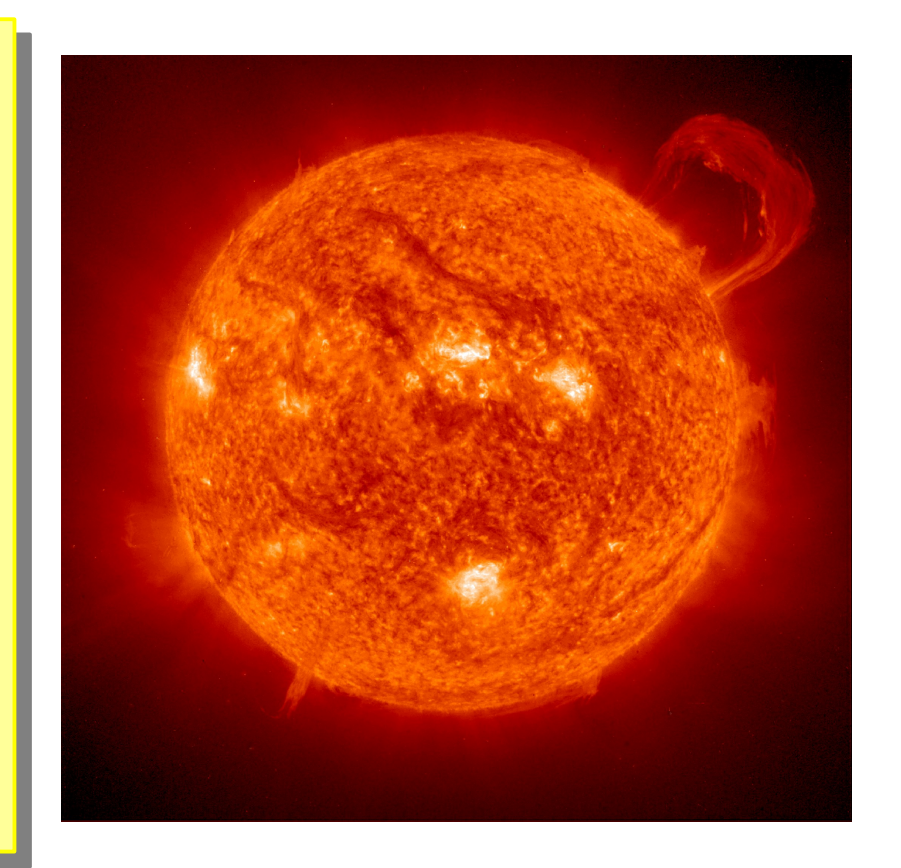
#### II Sole:

$$R_{\odot} = 6.96 \times 10^8 \text{ m}$$

$$M_{\odot} = 2 \times 10^{30} \text{ kg}$$

$$T_{\odot} = 5800 \text{ K}$$

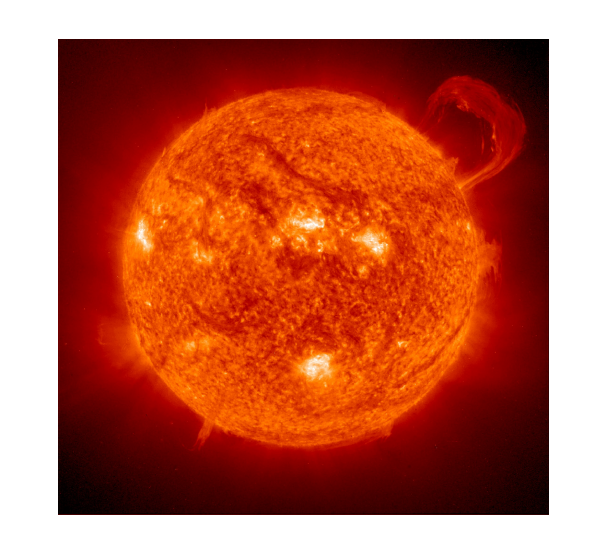
$$L_{\odot} = 3.86 \times 10^{26} \text{ W} = 2.4 \times 10^{39} \text{ MeV/s}$$
  
(1 eV ~ 1.6 x 10<sup>-19</sup> J)



# Sorgente di energia delle stelle

Energia rilasciata da contrazione gravitazionale:

$$E = \frac{-1}{2}\Omega = \frac{-3}{4} \frac{GM_{\odot}^{2}}{R_{\odot}} \sim 3.10^{41} J \sim 2.10^{54} MeV$$



Sufficiente ad alimentare il Sole per :

$$t = \frac{E}{L_{\odot}} = 3.10^{15} s = 2.4.10^7 anni$$



Incompatibile con età della terra ~ 4.5 x 10° anni

#### Teoria della nucleosintesi stellare

**1920 Aston**: M(He) < 4 M(H)

**Eddington:** conversione 4 H  $\rightarrow$  He come sorgente di energia per le stelle

...T troppo bassa!

1928 Gamow: probabilità effetto tunnel

1936 - 1938 Atkinson - Bethe and Critchfield: catena pp

1938 - 1939 Weizsacker - Bethe: Ciclo CNO

1946 Hoyle: teoria della nucleosintesi nell'evoluzione stellare

**1952 Merril:** scoperta del tecnezio ( $T_{1/2} = 4.2 \times 10^6$  anni) nelle stelle, dimostrazione di nucleosintesi recente

### Le stelle come reattori a fusione nucleare

$$4H \rightarrow He + 2\beta^+ + 2\nu_e + 26.7 \text{ MeV}$$

Tasso di fusione:

$$N = \frac{L_{\odot}}{26.7 \text{MeV}} \sim 10^{38} \frac{\text{fusioni}}{\text{s}}$$

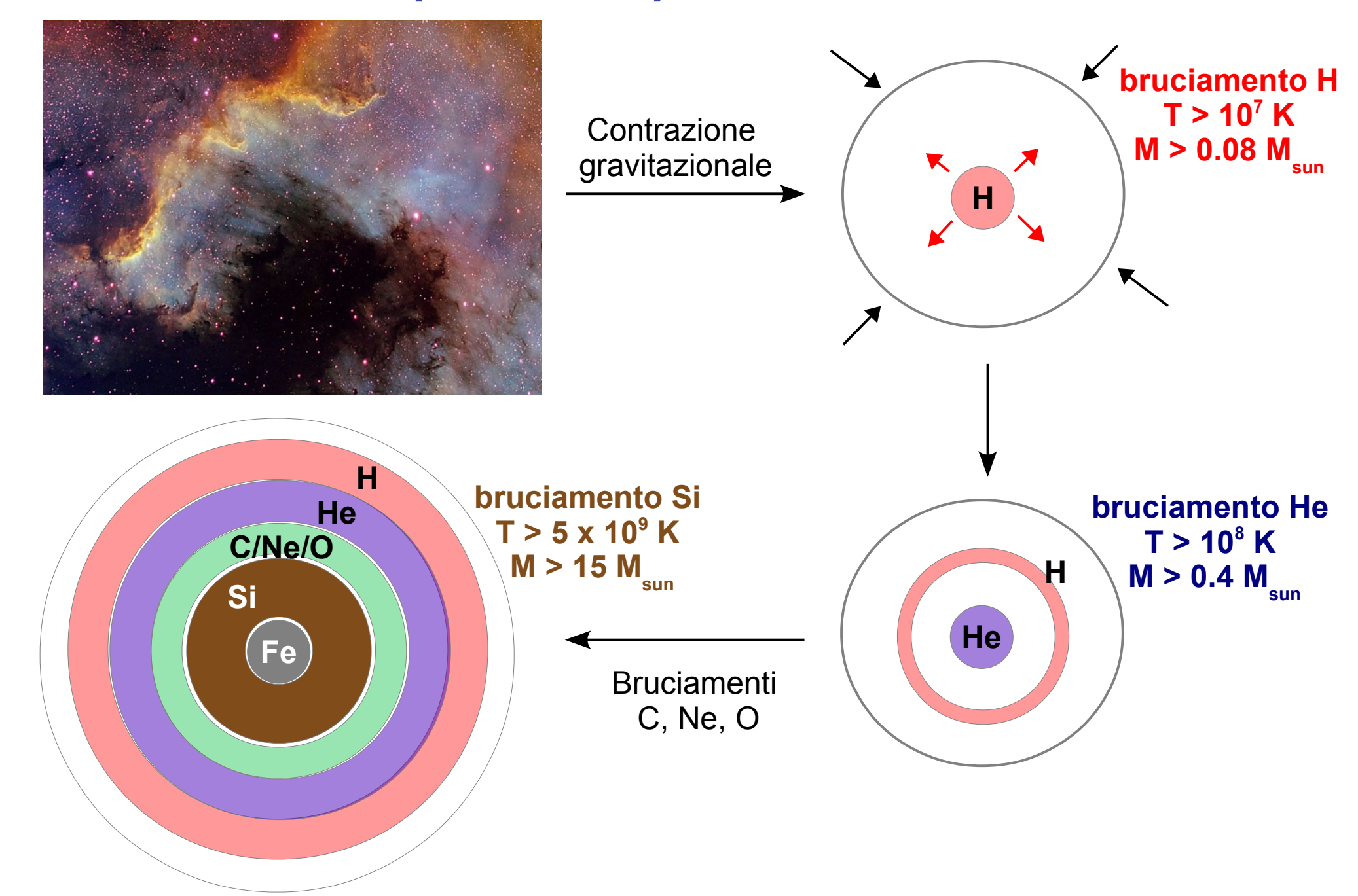
Massa di H bruciata per unità di tempo:

$$M = 4M_{protone} \cdot N \sim 6.4 \cdot 10^{14} \frac{g}{s} = 640 \cdot 10^{6} \frac{t}{s}$$

Tempo scala del bruciamento:

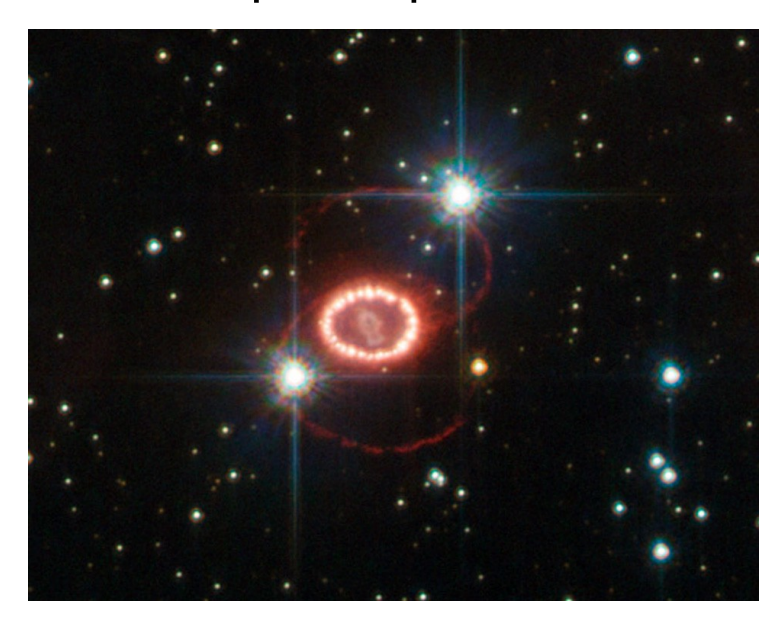
$$t = \frac{10\% M_{\odot}}{M} \sim 10^{10} anni$$
 consistente con l'età della Terra!

# Vita (e morte) di una stella



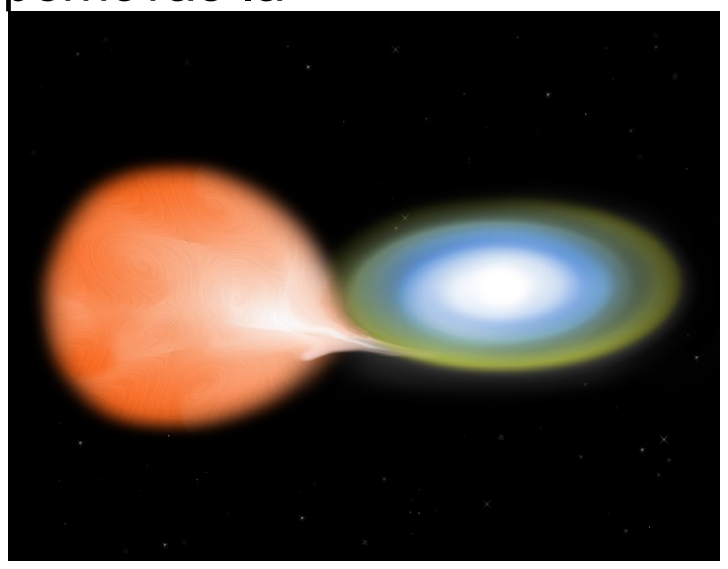
# Vita (e morte) di una stella: Fenomeni esplosivi

<u>Stelle massicce</u> (15 < M < 30 M<sub>sun</sub>): core collapse supernovae



Sistemi binari: Novae classiche

supernovae la



Il materiale espulso arricchisce il mezzo interstellare



Stelle di seconda generazione

#### Reazioni termonucleari nelle stelle

$$a + b \rightarrow X$$

$$\frac{\text{N° Reazioni}}{\text{tempo · Volume}} = N_a \cdot N_b \cdot \upsilon \cdot \frac{\text{SEZIONE}}{\text{D'URTO}}$$

Energia cinetica (Maxwell - Boltzmann)

$$\frac{1}{2}mv^2 = \frac{3}{2}kT \sim keV$$

VS

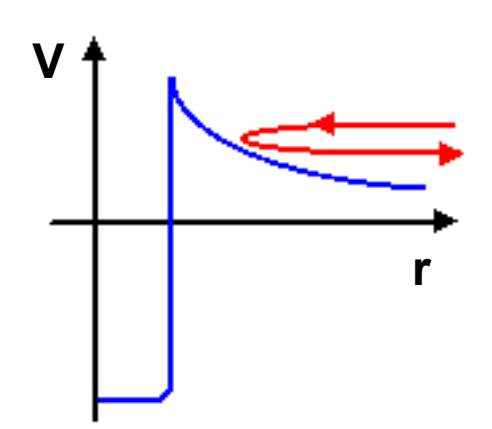
Barriera Coulombiana

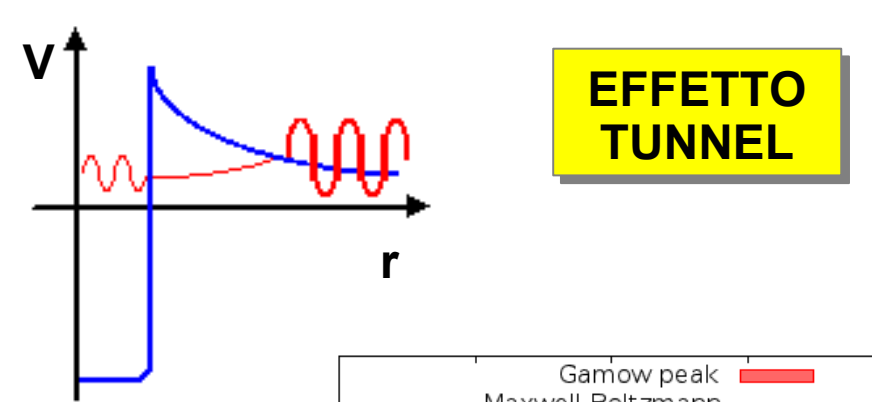
$$\frac{1}{2}mv^2 = \frac{3}{2}kT \sim keV \qquad \longleftarrow \qquad E_C = \frac{Z_a Z_b e^2}{R} \sim MeV$$

# Il picco di Gamow

#### FISICA CLASSICA

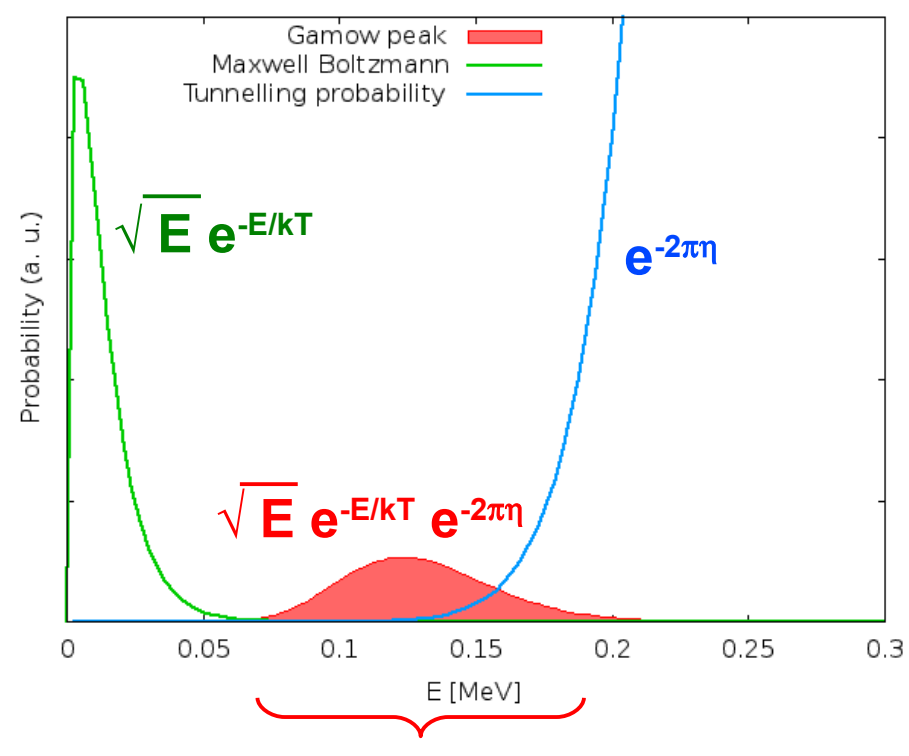
#### **FISICA QUANTISTICA**





$$\sigma(E) = \frac{1}{E} S(E) e^{-2\pi\eta}$$

$$2 \pi \eta \sim Z_a Z_b \sqrt{\frac{m_{ab}}{E}}$$

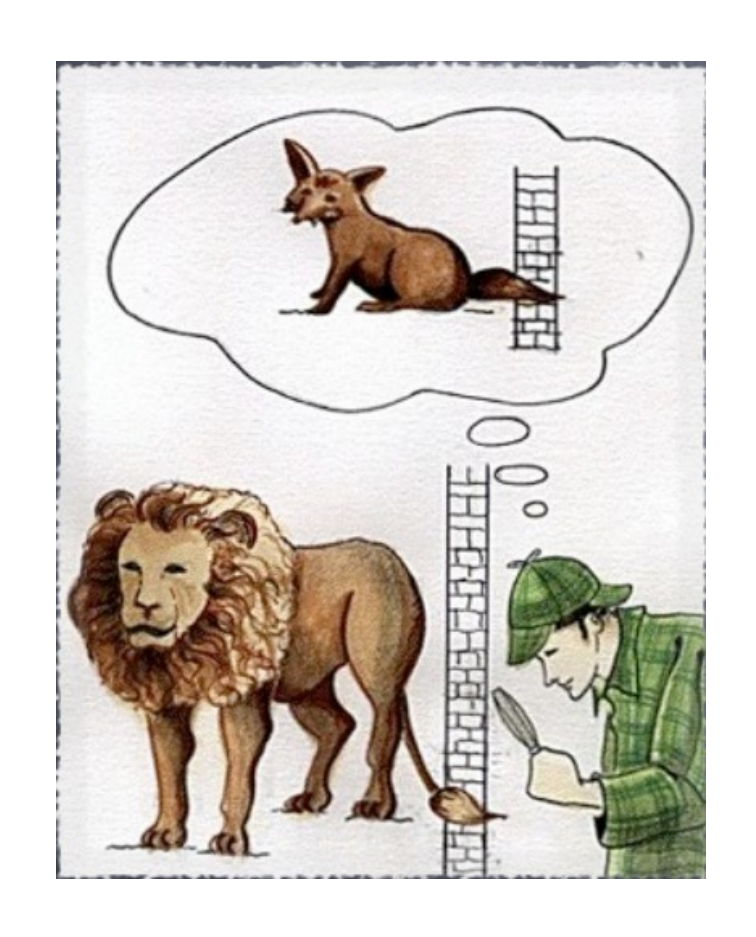


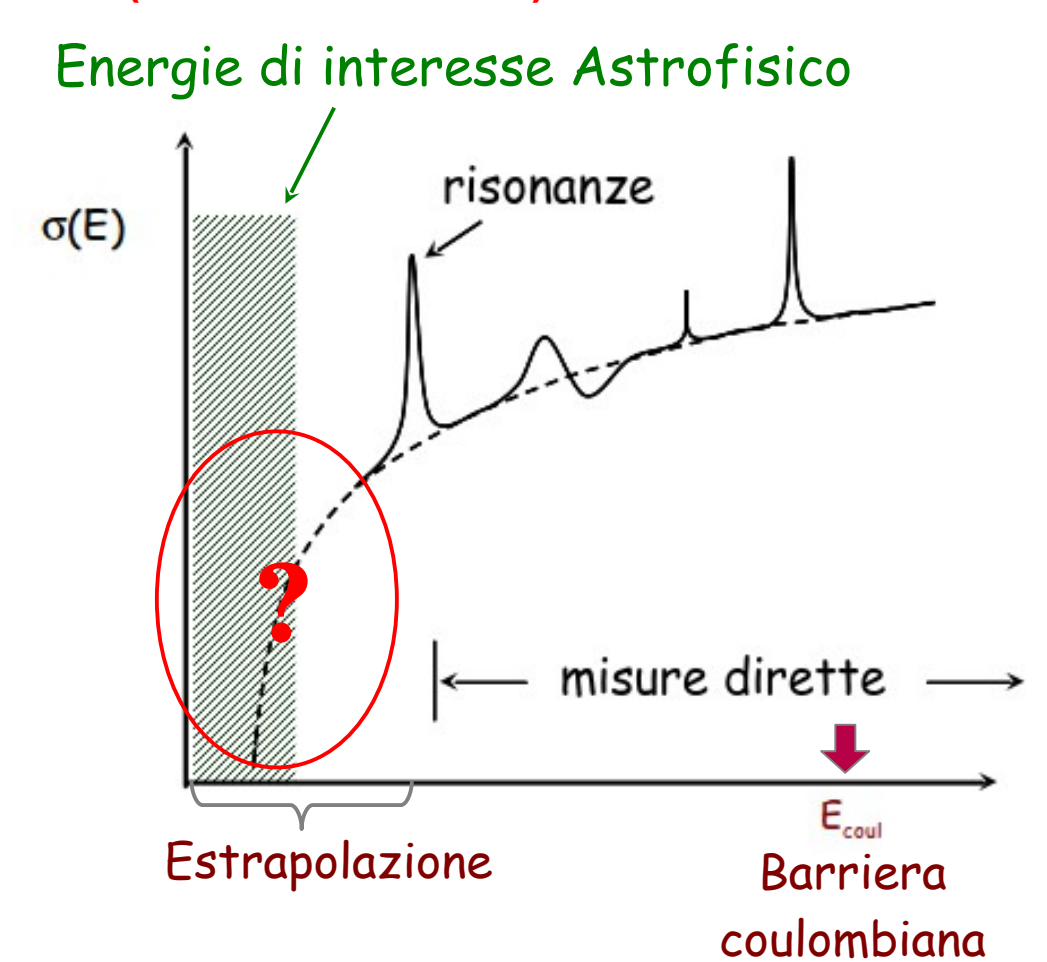
Intervallo in energia rilevante per l'astrofisica

### Reazioni termonucleari nelle stelle

La sezione d'urto diminuisce esponenzialmente con l'energia.

⊠≤ nano-barn (1barn = 10<sup>-24</sup> cm<sup>2</sup>)





"Misura ciò che è misurabile, e rendi misurabile ciò che non lo è."

Galileo Galilei (1564 - 1642)

#### Perchè misurare sottoterra?

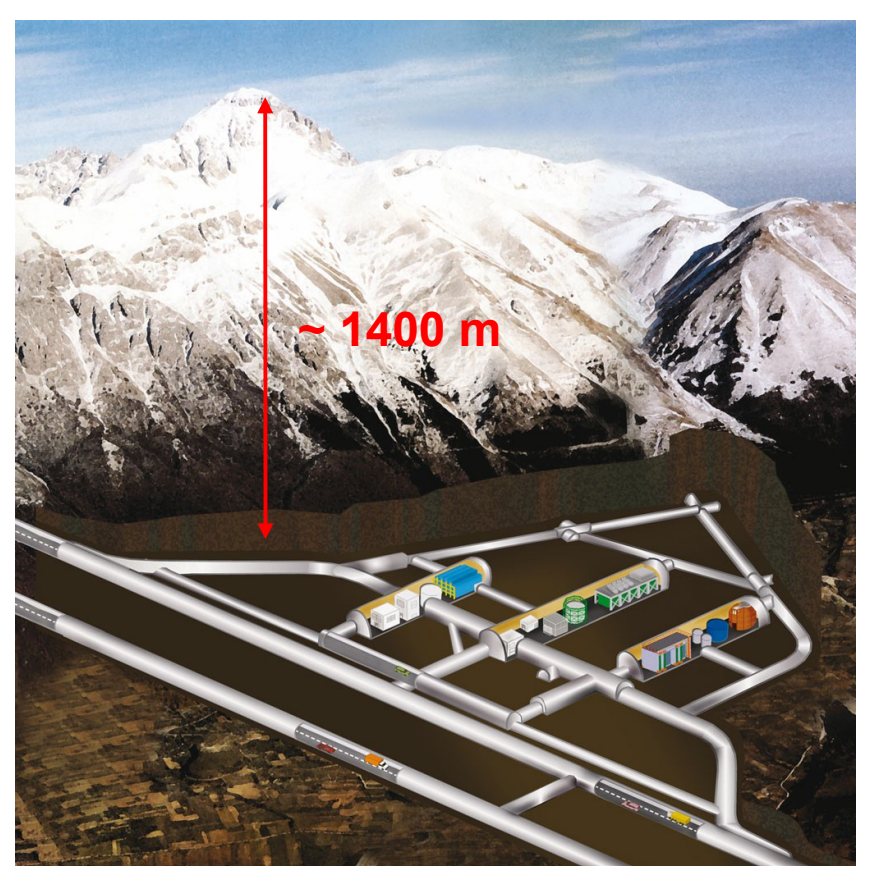
Sorgenti naturali di fondo:

Radioattività naturale:
catene di decadimento di U e Th

Raggi cosmici:

al livello del mare, principalmente muoni

Laboratori Nazionali del Gran Sasso: 1400 m di roccia come schermo naturale

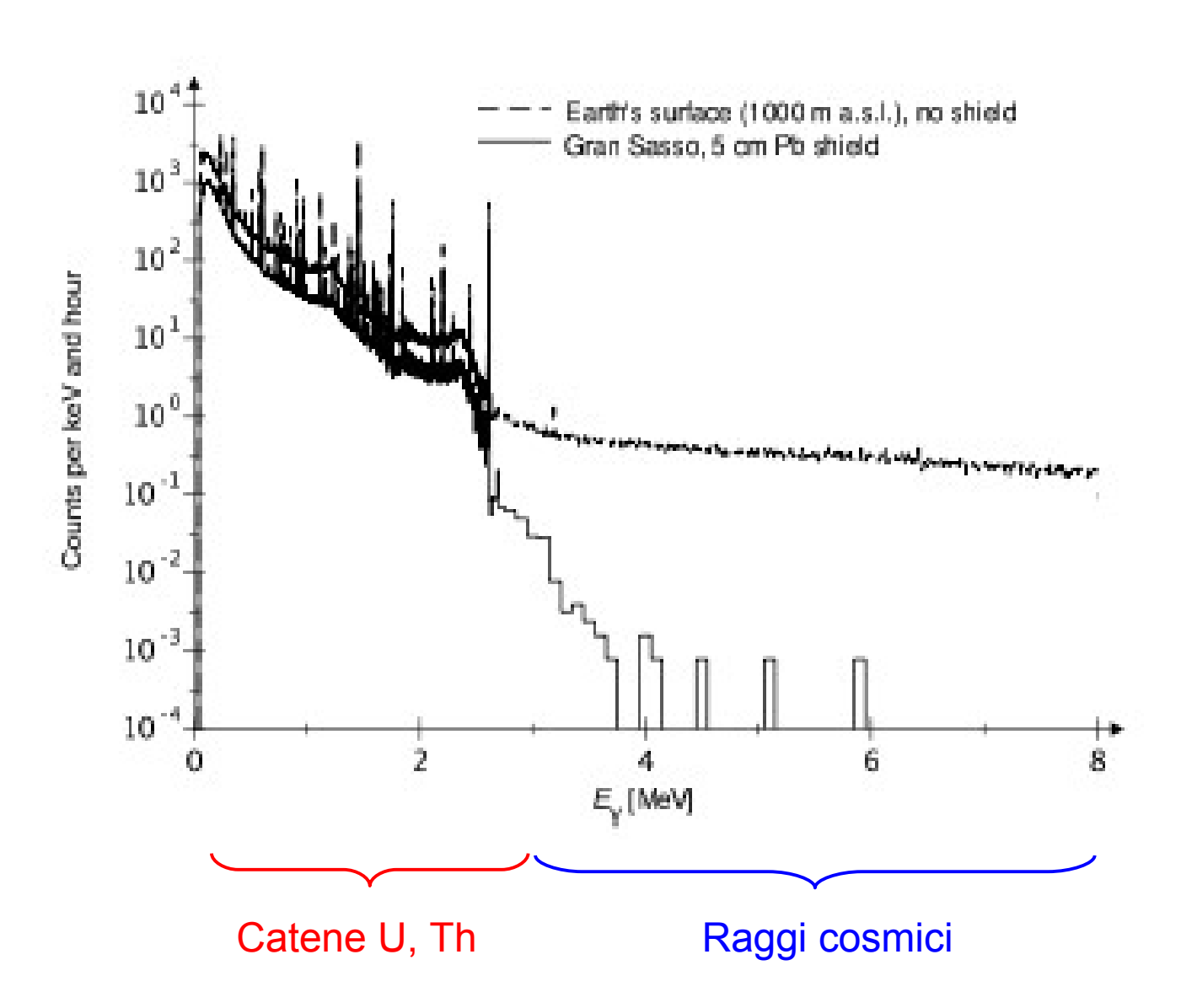


## Perchè misurare sottoterra?

# Riduzione del fondo cosmico:

10-6

n → 1 10-3



$$\sigma = \frac{N_{\text{reazioni}} / t}{N_{\text{proiettili}} / t N_{\text{bersagli}} / A}$$

#### **ACCELERATORE**

- → Fascio molto intenso
- $\rightarrow$  Buona risoluzione energetica ( $^{\Delta}$ E/E)

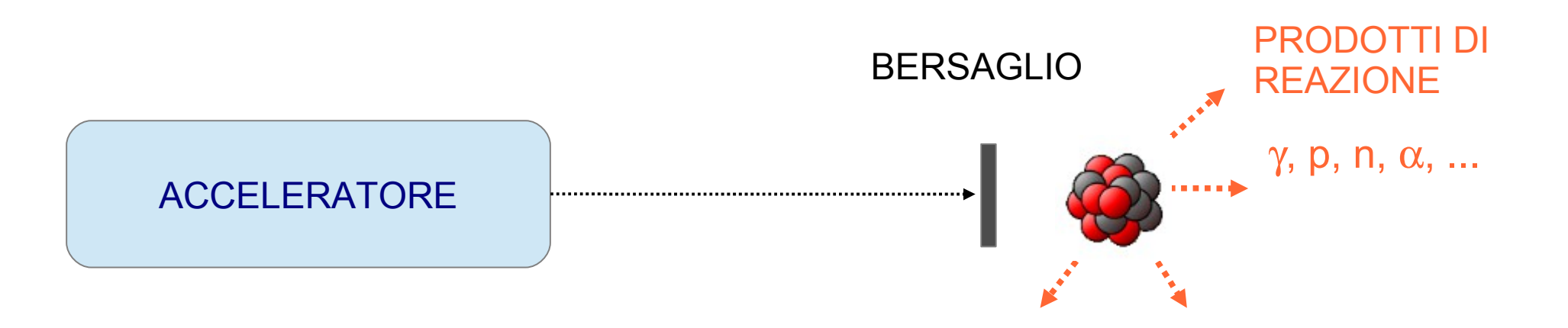
$$\sigma = \frac{N_{\text{reazioni}} / t}{N_{\text{proiettili}} / t N_{\text{bersagli}} / A}$$

**BERSAGLIO** 

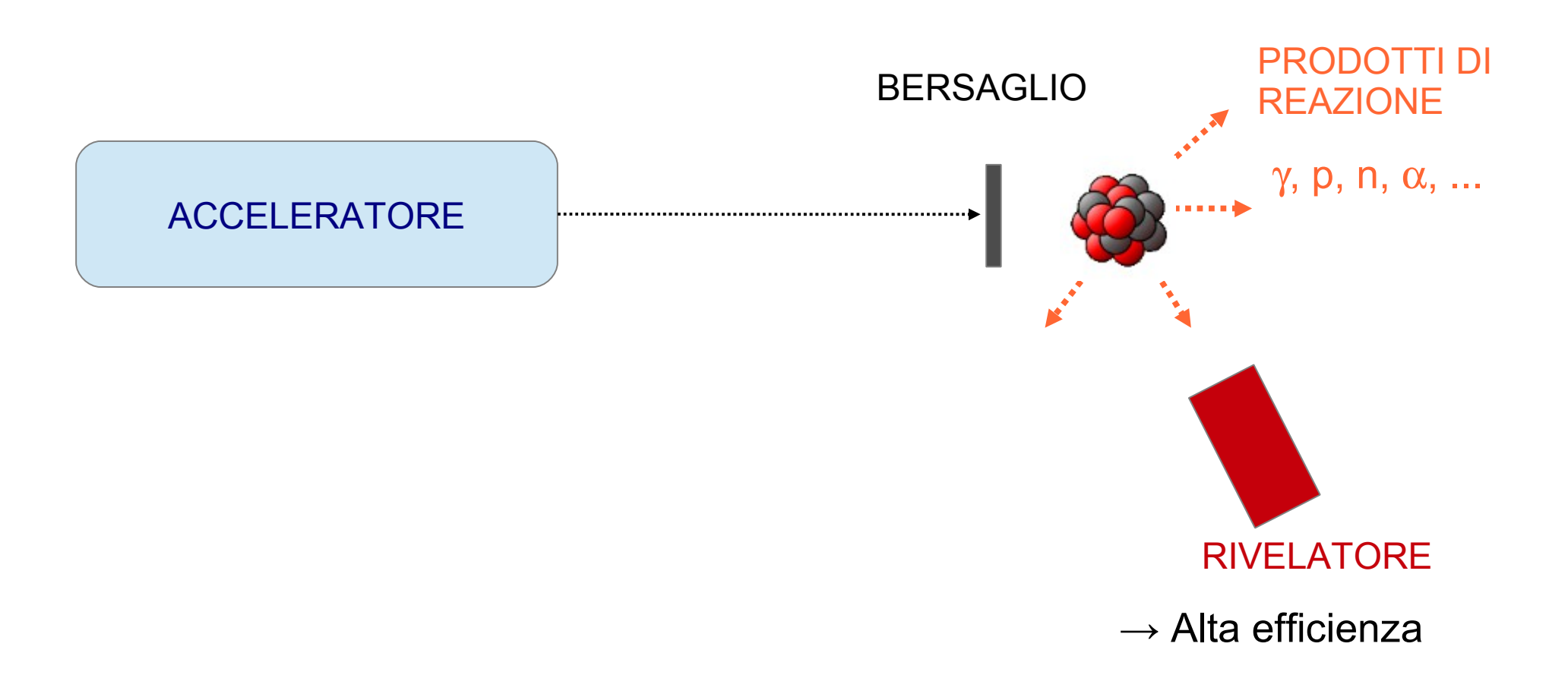
ACCELERATORE

→ Elevata densità e purezza

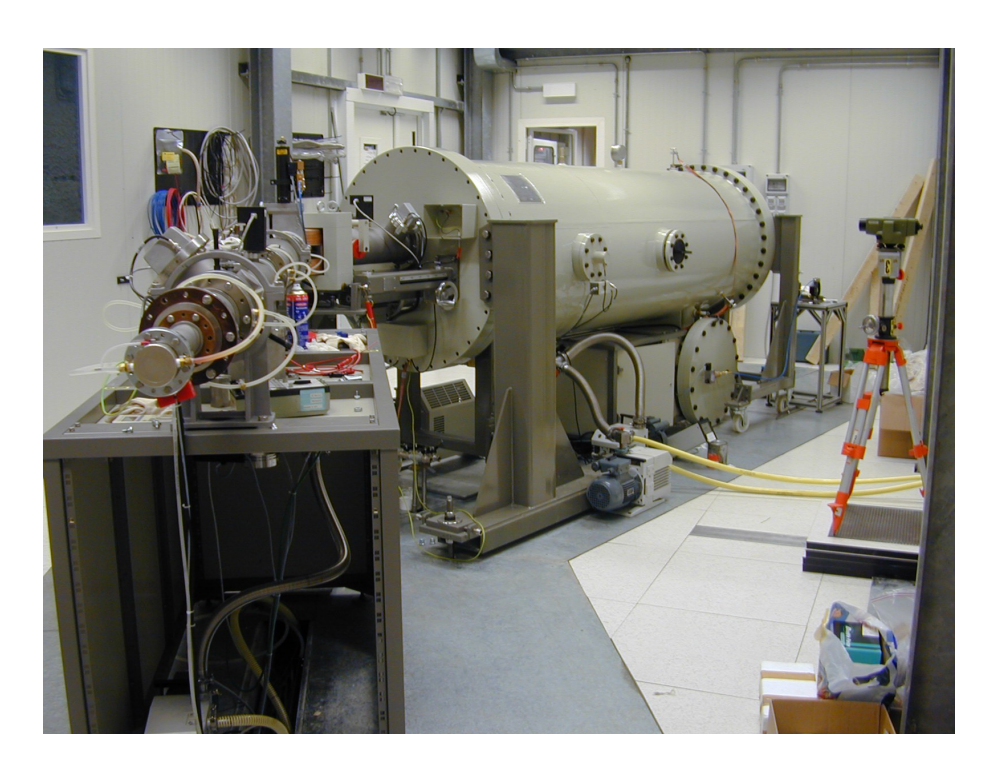
$$\sigma = \frac{N_{\text{reazioni}} / t}{N_{\text{proiettili}} / t N_{\text{bersagli}} / A}$$



$$\sigma = \frac{N_{\text{reazioni}} / t}{N_{\text{proiettili}} / t N_{\text{bersagli}} / A}$$



## L'esperimento LUNA



L'AQUILA

LUNA 400kV

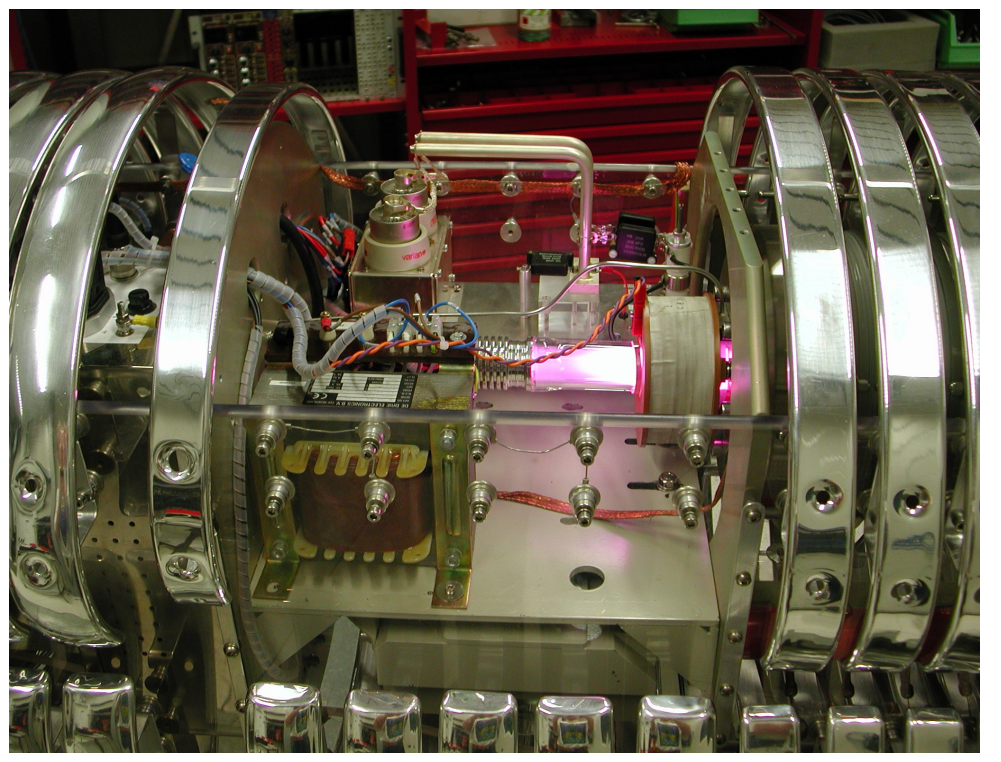
TERAMO

**ENERGIA FASCIO: 50 - 400 keV** 

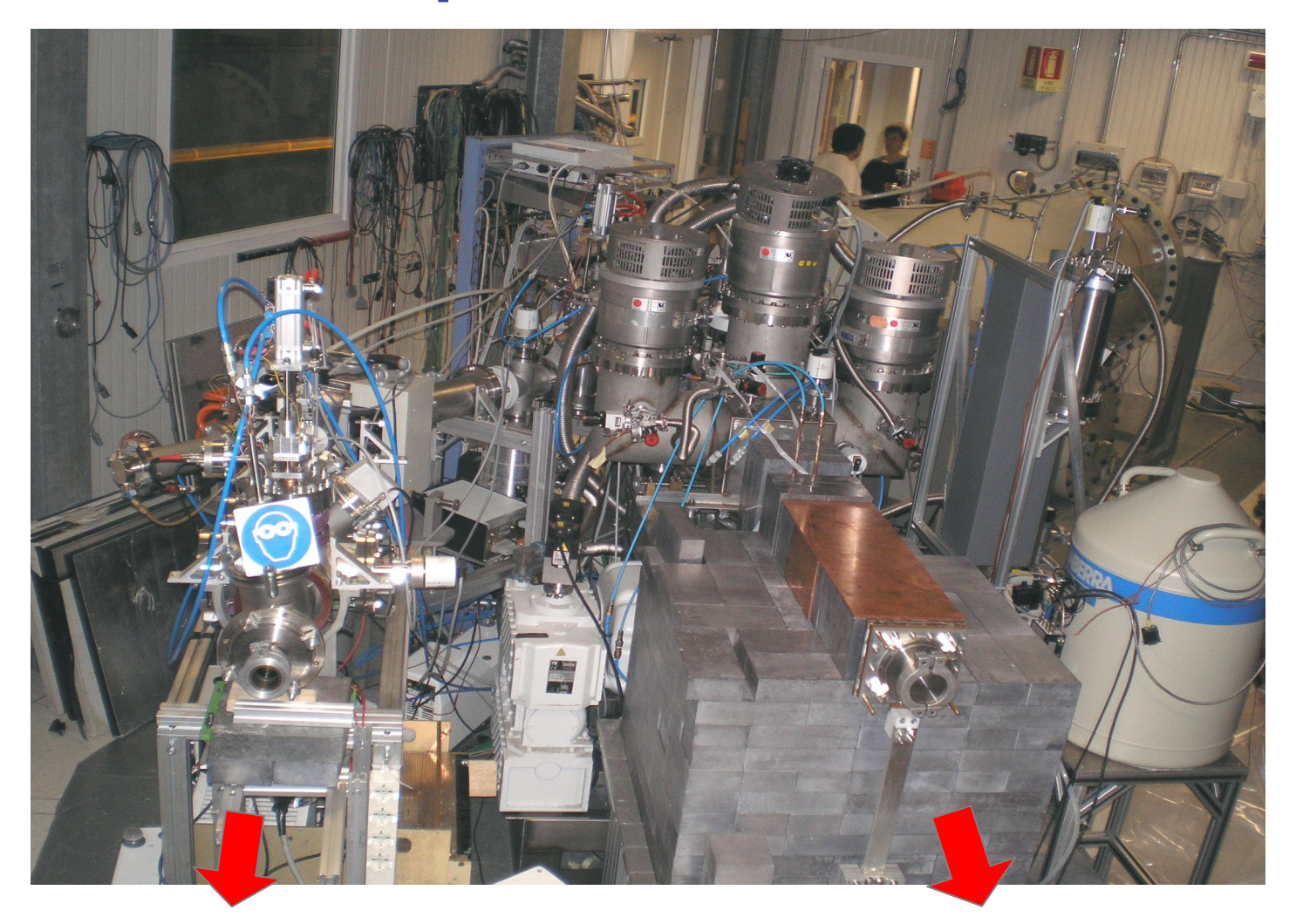
CORRENTE:  $10^{15}$  part./s (~100  $\mu$ A)

ΔE: ~ 100 eV

STABILITÀ: ~ 5 eV/h



## L'esperimento LUNA

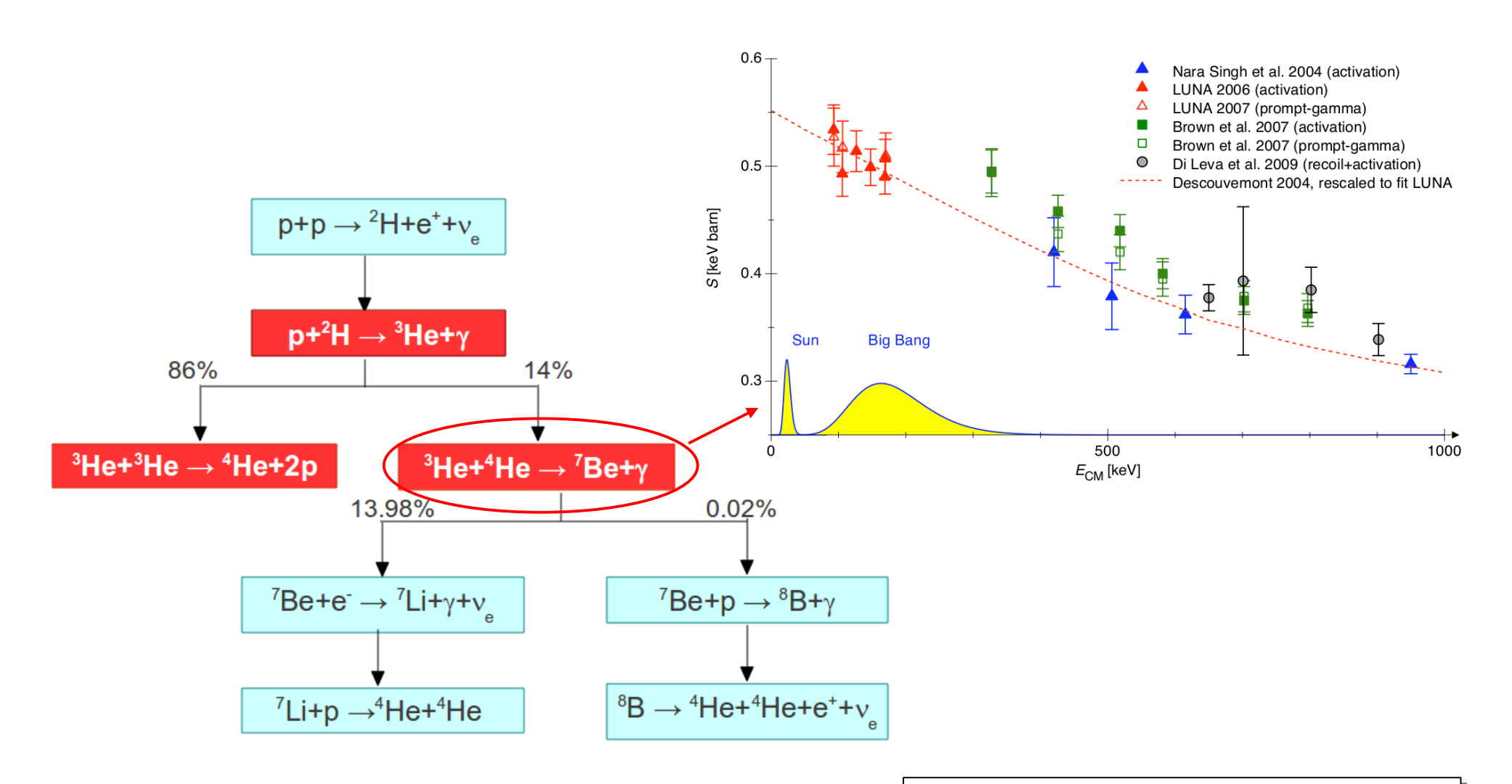


**Bersaglio Solido** 

**Bersaglio Gassoso** 

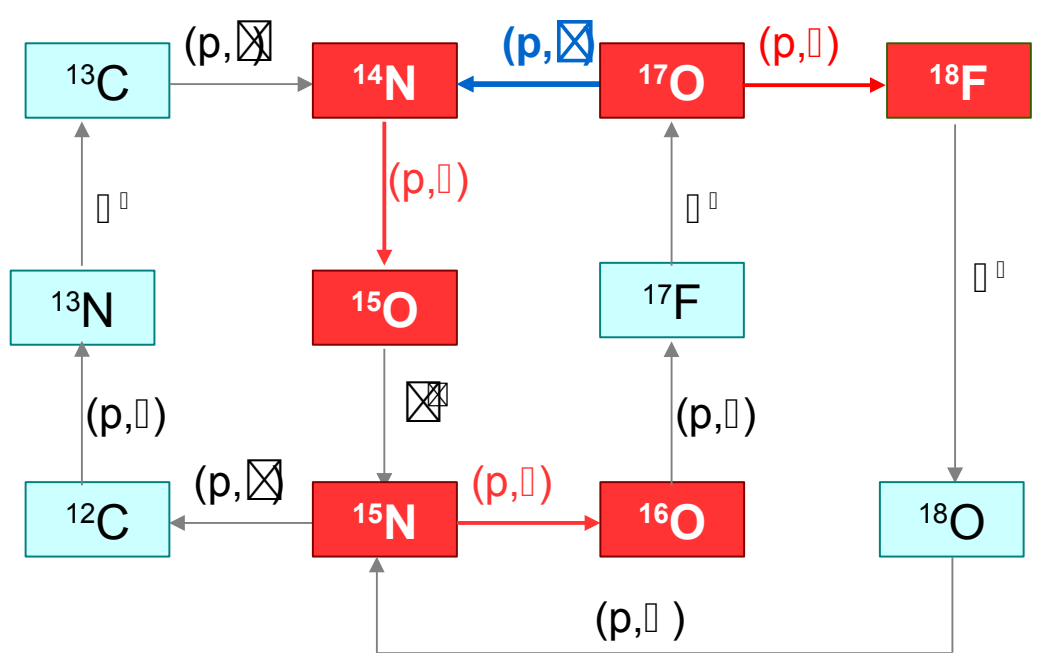
Possibilità di ottimizzare l'efficienza con diversi rivelatori di fotoni o particelle

## Reazioni studiate: catena p-p



Riduzione dell'incertezza sul flusso di [] []<sup>7</sup>Be,<sup>8</sup>B) previsti dai modelli solari

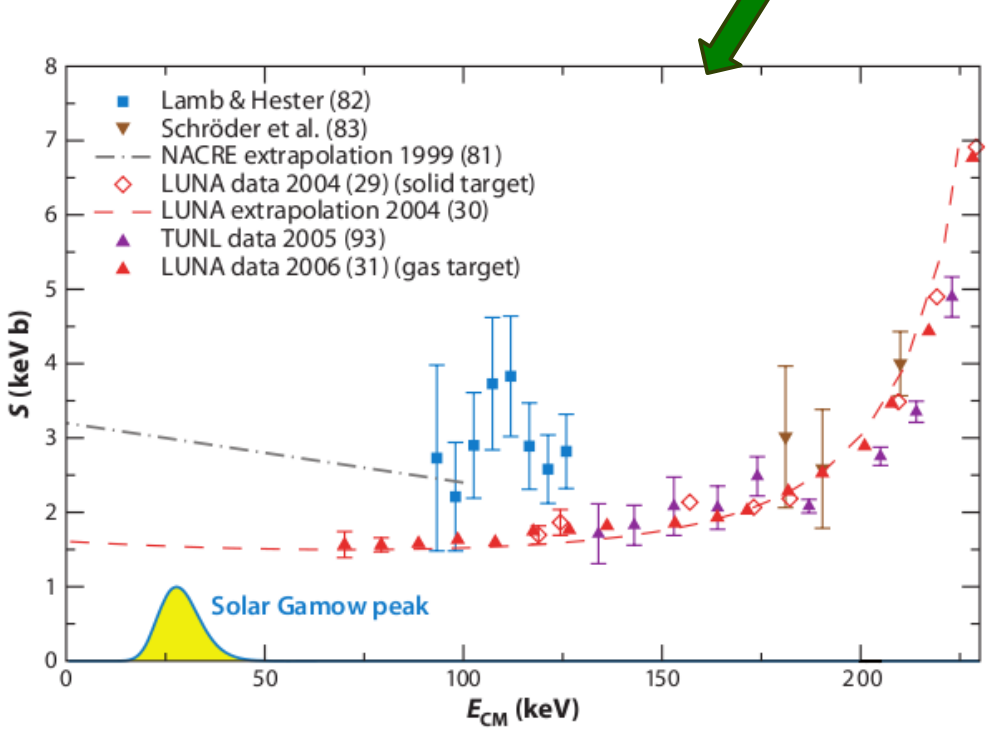
#### Reazioni studiate: ciclo CNO



<sup>14</sup>N + p → <sup>15</sup>O + ⋈=> "collo di bottiglia" del ciclo CN

→ Limite sull'eta` dell'Universo aumentato di 1Gy

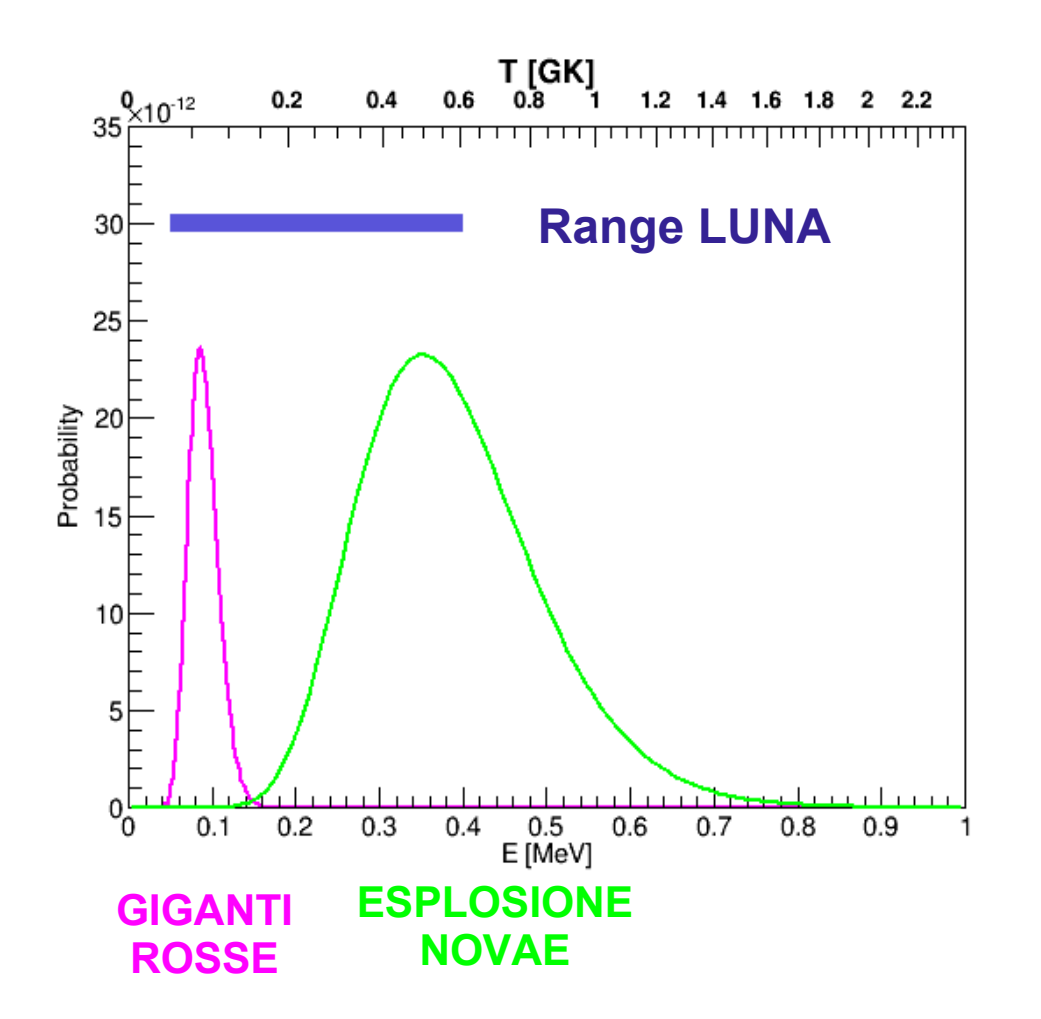
 $\rightarrow$  Flusso  $\square_{CNO}$  ridotto di un fattore 2

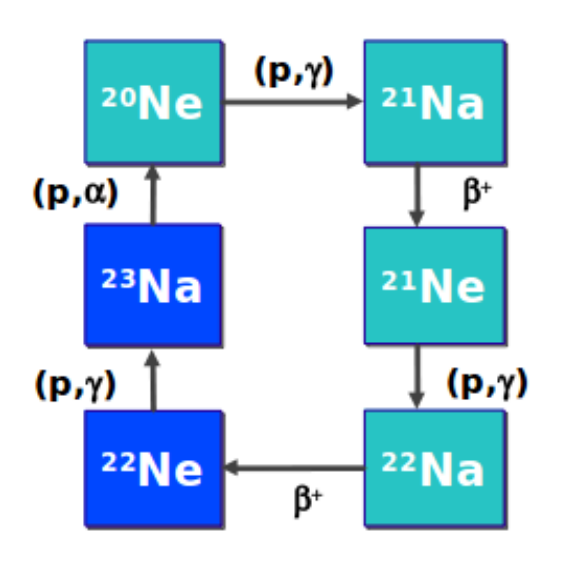




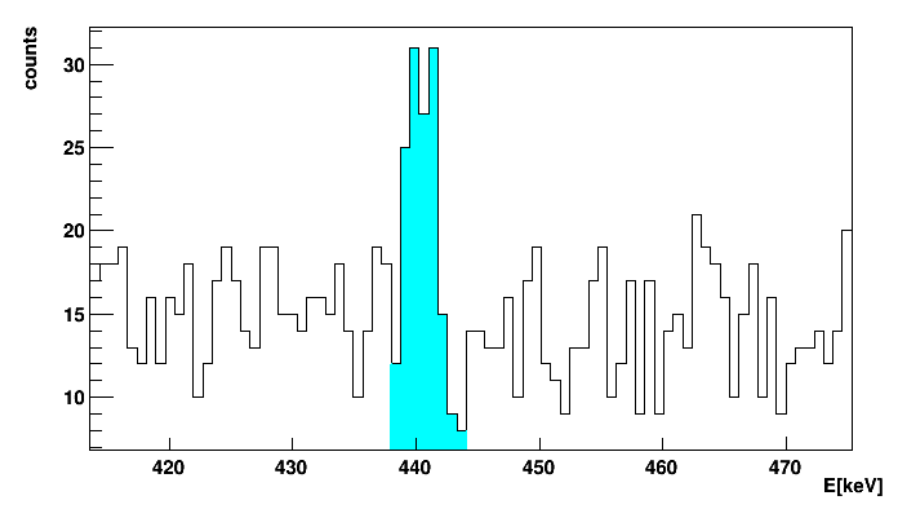
## <sup>22</sup>Ne + p $\rightarrow$ <sup>23</sup>Na + $\boxtimes$

Regola la produzione degli elementi tra <sup>20</sup>Ne e <sup>27</sup>Al nelle **giganti rosse** e nelle **esplosioni di novae** 





#### TEST RUN: OSSERVATI 42 EVENTI IN 12h!



# II progetto LUNA MV

Reazioni chiave per il bruciamento dell' He:

$$\begin{cases} 1^{2}C + \alpha \rightarrow {}^{16}O + \boxtimes \\ 1^{3}C + \alpha \rightarrow {}^{16}O + n \\ 2^{2}Ne + \alpha \rightarrow {}^{25}Mg + n \end{cases}$$





T più alte rispetto al bruciamento dell' H



Acceleratore di più alta energia → 3.5 MV

#### **Collaborazione LUNA**

INFN - LNGS (Italia): A. Best, A. Formicola M. Junker

**HZDR (Germania):** D. Bemmerer, Z. Elekes, T. Szucs

INFN Padova (Italia): C. Broggini, A. Caciolli,

R. Depalo, R. Menegazzo

INFN Roma La Sapienza (Italia): C. Gustavino

ATOMKI, Debrecen (Ungheria): Zs.Fülöp, Gy. Gyurky,

E.Somorjai

Osservatorio di Collurania (Italia): O. Straniero

Ruhr-Universität Bochum (Germania): F. Strieder

University of Edinburgh (UK): M. Aliotta, T. Davinson,

D. Scott, C. Bruno

Università di Genova (Italia): F. Cavanna, P. Corvisiero,

P. Prati

Università e INFN Milano (Italy): A. Guglielmetti, D. Trezzi

Università e INFN Napoli (Italia): G.Imbriani, A. Di Leva

Università e INFN Torino (Italia): G.Gervino

